

04

©1992 г.

ЭРОЗИЯ ФРОНТА ПЗЧ В ПЛАЗМЕННОМ КАНАЛЕ ВЫСОКОЙ ПРОВОДИМОСТИ

Е.К.Колесников, А.С.Мануйлов

С помощью решения системы уравнений динамики пучка заряженных частиц в высокопроводящей рассеивающей газоплазменной среде получена оценка темпа эрозии фронта пучка. Показано, что в рассматриваемом случае вклад в скорость эрозии в результате рассеяния линейно зависит от проводимости среды и существенно превышает соответствующий вклад из-за омических потерь.

1. В последнее время значительное внимание уделяется исследованию процессов, сопровождающих транспортировку пучков заряженных частиц (ПЗЧ) в газоплазменных средах [1–14]. Среди указанных процессов основное место занимают такие, как развитие резистивных неустойчивостей [1–4], поперечная эволюция пучка в результате пучково-плазменного взаимодействия, эрозия фронтальной части ПЗЧ. В частности, процесс эрозии фронта пучка (рассыпание головной части) в газоплазменных средах рассматривался в работах [9–12] и, как было показано, обусловлен омическими потерями ПЗЧ и его поперечной дисперсией при многократном кулоновском рассеянии частиц пучка на атомах газоплазменного фона. В связи с этим представляется актуальным исследование процесса эрозии ПЗЧ в часто встречающемся на практике случае транспортировки пучка на фоне высокопроводящей рассеивающей газоплазменной среды. В частности, подобные ситуации могут иметь место при осуществлении экспериментов по термоядерному синтезу на пучках тяжелых ионов [13] или при создании плазмохимических реакторов высокого давления [14].

В литературе, посвященной эрозии ПЗЧ, подробно исследована лишь ситуация, когда проводимость фоновой плазмы в голове пучка низка и имеет место частичная зарядовая и токовая компенсация [9–12]. Однако на практике возможна ситуация, когда пучок на всем протяжении скомпенсирован по заряду и близок к токовой нейтрализации. Определению скорости эрозии ПЗЧ в указанной ситуации и посвящена настоящая работа.

2. Рассмотрим параксиальный моноэнергетический ПЗЧ, распространяющийся по каналу высокой проводимости ($4\pi\sigma_0 R_b/c \gg 1$, R_b —

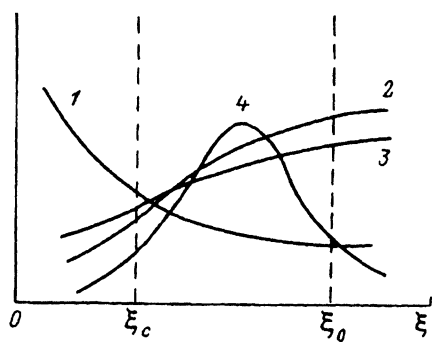


Рис. 1. Качественная зависимость параметров пучково-плазменной системы от расстояния ξ до фронта ПЗЧ.

1 — R , 2 — U , 3 — γ , 4 — $\langle E_z \rangle$ [11,12]

характерный радиус пучка, c — скорость света), созданному в нейтральном газе высокого давления. Ось z цилиндрической системы координат (r, θ, z) выберем вдоль оси канала. В рассматриваемой ситуации пучок полностью компенсирован по заряду и близок к полной магнитной нейтрализации. Будем предполагать, что выполнено условие

$$\sigma_0 \gg \sigma_g \quad (1)$$

где σ_g — проводимость, генерируемая в канале самим пучком; поэтому проводимостью σ_g в дальнейшем будем пренебрегать.

Для определения скорости эрозии головной части ПЗЧ в рассматриваемом случае воспользуемся методикой, предложенной в работах [11,12]. Известно, что пучок может быть разбит на три области: область свободного расширения, переходную зону и область самофокусировки пучка (тело импульса) (рис. 1). Темп эрозии характеризуется скоростью движения точки пересечения двух первых из указанных областей ξ_c (критической точки) относительно фронта ПЗЧ.

Для нахождения указанной скорости обратимся к основным уравнениям динамики пучково-плазменной системы. Уравнение, характеризующее поперечную эволюцию ПЗЧ в результате процесса многократного кулоновского рассеяния частиц пучка на атомах фонового газа (уравнение Нордсика), имеет вид [5,6]

$$\frac{\partial}{\partial z} [\ln(\gamma U R^2)] = \frac{2}{L_N}, \quad (2)$$

где R — среднеквадратичный радиус пучка, $U = \kappa I_b/c$ — обобщенный первеанс пучка, I_b — ток пучка, $\kappa = (1 - f_m)$, f_m — коэффициент токовой нейтрализации, γ — релятивистский фактор, L_N — характерный масштаб макроскопического проявления многократного рассеяния (длина Нордсика).

$$L_N = \frac{2\gamma U}{a}, \quad a = \frac{4\pi mc^2}{\alpha_t qr_d}, \quad (3)$$

где m — масса частицы пучка, q — ее заряд, α_t — постоянная тонкой структуры, r_d — радиационная единица длины.

Уравнение, описывающее омические потери ПЗЧ (в пренебрежении радиационными и ионизационными потерями пучка, вблизи пика E_z (рис. 1)), запишется в виде

$$\frac{\partial}{\partial z}(\gamma mc^2) = q\langle E_z \rangle, \quad (4)$$

где $\langle E_z \rangle$ — среднее по радиальному профилю пучка значение продольной компоненты электрического поля, для которого из закона Фарадея нетрудно получить следующее выражение:

$$\langle E_z \rangle = -\frac{\partial}{\partial \xi}(LU) - \frac{U}{R} \frac{\partial R}{\partial \xi} + b \frac{\partial U}{\partial \xi}, \quad (5)$$

где $\xi = ct - z$, t — временная переменная, $L = \ln(R_0/R)$ — индуктивность единицы длины пучка, R_0 удовлетворяет условию

$$\langle E_z \rangle|_{r=R_0} = 0, \quad (6)$$

b — коэффициент, зависящий от радиального профиля ПЗЧ (например, для беннетовского профиля, обрезанного при $r = 2R$, $b \simeq 0.12$).

Согласно экспериментам [11, 12], $L \sim 5 - 8$. Поэтому в дальнейшем в (5) членами $\sim L^{-1}$ будем пренебрегать.

Уравнение для обобщенного первенства пучка U можно получить из уравнения Ампера. Воспользовавшись предположением о высокой проводимости фоновой плазмы ($(4\pi\sigma_0/c)\partial A_z/\partial \xi \gg \Delta A_z$, где A_z — z -компоненты векторного потенциала электромагнитного поля), получим

$$\frac{\partial}{\partial \xi} \left(\frac{U}{R^2} \right) \simeq \frac{I_b}{4\pi\sigma_0 R^4}. \quad (7)$$

В области, близкой к телу импульса, имеет место условие динамического равновесия

$$\langle Q^2 \rangle = \frac{qU}{\gamma mc^2}, \quad (8)$$

где $\langle Q^2 \rangle$ — среднеквадратичный угол теплового разброса частиц пучка.

Можно показать, что положение "критической точки" ξ_c определяется из условия

$$\left. \left(\frac{\partial R}{\partial z} \right)^2 \right|_{\xi=\xi_c} = \langle Q^2 \rangle. \quad (9)$$

Кроме того, согласно [6], в области свободного расширения ($\xi \leq \xi_c$) уравнение огибающей имеет вид

$$\frac{\partial^2 R^2}{\partial z^2} = \frac{2V^2}{c^2}, \quad (10)$$

где V — средняя скорость поперечного расширения пучка.

Отметим, что в силу предположения (1) в настоящей работе (в отличие от [11,12]) уравнение генерации проводимости отсутствует. Введем в рассмотрение переменную

$$\eta = \xi - \nu z, \quad (11)$$

где $\nu = \xi_c/z_c$ — скорость эрозии (тепп смещения „критической точки“ ξ_c от фронта ПЗЧ к хвосту импульса в процессе транспортировки), z_c — текущая z -координата „критической точки“.

Тогда, переходя к паре независимых переменных (η, z) , имеем

$$\left(\frac{\partial}{\partial \xi} \right)_z = \frac{d}{d\eta}, \quad \left(\frac{\partial}{\partial z} \right)_\xi = -\nu \frac{d}{d\eta}. \quad (12)$$

В этом случае при условии $U_c \ll U_0$ (рис. 1) получим темп эрозии в виде

$$\nu = \frac{q L_0 U_0}{\gamma_0 m c^2 (1 - \gamma_c/\gamma_0)}, \quad (13)$$

где индекс „0“ относится к значениям величин в теле пучка.

Из (13) следует, что задача нахождения скорости эрозии фронта ПЗЧ сводится к определению значения релятивистского фактора γ_c частиц пучка, находящихся от фронта на расстоянии ξ_c , через предполагаемые известными параметры в теле ПЗЧ. Указанная задача может быть решена при условии, что известна зависимость среднеквадратичного радиуса пучка R от переменной ξ . Согласно результатам работ [7,11], эту зависимость можно аппроксимировать следующим образом:

$$R(\xi) = R_0 \left(\frac{\xi_0}{\xi} \right)^{1/\alpha}, \quad \xi \leq \xi_0, \quad \alpha \geq 1, \quad (14)$$

где R_0 — значение R в теле пучка, ξ_0 — расстояние от фронта ПЗЧ до пинч-области пучка. Как показывают оценки, в большинстве случаев достаточно хорошая аппроксимация огибающей пучка достигается при $\alpha \sim 2$.

3. Для определения скорости эрозии ν обратимся к рассмотрению системы уравнений (2)–(13). Используя (14) и свойства приведенных на рис. 1 кривых, преобразуем ряд уравнений из указанной системы. Принимая во внимание качественную зависимость обобщенного первенца U от ξ (рис. 1), из (7) и (14) получим

$$U \simeq \frac{\beta}{R^2} \left(\frac{R_0}{R} \right)^\alpha, \quad (15)$$

где

$$\beta = \frac{I_b}{4\pi\sigma_0} \frac{\alpha}{(4+\alpha)} \xi_0. \quad (16)$$

Из (2) и (12) имеем

$$\ln \left(\frac{\gamma U R^2}{\gamma_c U_c R_c^2} \right) \simeq -\frac{a}{\nu \gamma_c} R_c^2 A, \quad (17)$$

здесь a определено в (3) и

$$A = \frac{2\pi\sigma_0}{I_b}(4 + \alpha). \quad (18)$$

Заметим, что уравнение (17) является приближенным и получено с учетом условий $\gamma_c \ll \gamma$, $R_c \gg R$ для $\xi > \xi_c$ (рис. 1). Дифференцируя (15) по η , получим

$$\frac{d \ln U}{d\eta} = -\frac{(2 + \alpha)}{2} \frac{d \ln R^2}{d\eta}. \quad (19)$$

Из уравнения (2) в точке ξ_c имеем

$$\left(\frac{d \ln U}{d\eta} \right)_c + \left(\frac{d \ln R^2}{d\eta} \right)_c = -\frac{a}{\nu \gamma_c U_c}. \quad (20)$$

Для удобства введем далее в рассмотрение параметры

$$S = \frac{q L_0 U_0}{\gamma_0 m c^2}, \quad (21)$$

$$W = \left[(k_\beta L_N)^{-1} \right]_{\xi=\xi_0} = \frac{a R_0}{2 \gamma_0 U_0} \times \\ \times \left(\frac{\gamma_0 m c^2}{q U} \right)^{1/2}, \quad 22$$

где k_β — бетатронное волновое число частиц пучка, L_N — длина Нордсика.

В итоге имеем следующую систему уравнений:

$$\nu = \frac{S}{1 - \tilde{\gamma}_c}, \quad (23)$$

$$\frac{\tilde{U}_c}{\tilde{\gamma}_c} \frac{S}{L_0} = \nu^2 \tilde{R}_c^2 \left[\frac{R_0}{2} \left(\frac{d \ln R^2}{d\eta} \right) \right]^2, \quad (24)$$

$$\tilde{U}_c = \frac{\beta}{\tilde{R}_c^{2+\alpha} U_0 R_0^2}, \quad (25)$$

$$\frac{R_0}{2} \left(\frac{d \ln U}{d\eta} \right)_c = -\frac{(2 + \alpha)}{4} R_0 \left(\frac{d \ln R^2}{d\eta} \right)_c \quad (26)$$

$$\frac{R_0}{2} \left(\frac{d \ln U}{d\eta} \right)_c + \frac{R_0}{2} \left(\frac{d \ln R^2}{d\eta} \right)_c = -\frac{W}{\nu \tilde{\gamma}_c \tilde{U}_c} \times \\ \times \left(\frac{S}{L_0} \right)^{1/2}, \quad (27)$$

$$\ln \left(\tilde{\gamma}_c \tilde{U}_c \tilde{R}_c^2 \right) = \frac{2\tilde{R}_c^2}{\nu \tilde{\gamma}_c} A U_0 R_0 W \left(\frac{S}{L_0} \right)^{1/2}, \quad (28)$$

где $\tilde{\gamma}_c = \gamma_c / \gamma_0$, $\tilde{U}_c = U_c / U_0$, $\tilde{R}_c = R_c / R_0$.

Таким образом, имеем систему из шести уравнений (23)–(28) с шестью неизвестными: ν , $\tilde{\gamma}_c$, \tilde{U}_c , \tilde{R}_c , $(d \ln R^2 / d\eta)_c$, $(d \ln U / d\eta)_c$.

Решение указанной системы уравнений приводит к следующему выражению для скорости эрозии:

$$\nu = \nu_{sc} + \nu_{0h}, \quad (29)$$

где

$$\nu_{0h} = \frac{L_0 U_0 c}{(I_A)_0} \quad (30)$$

— скорость эрозии за счет омических потерь пучка, $(I_A)_0$ — ток Альфвена при $\xi = \xi_0$ и ν_{sc} — скорость эрозии в результате многократного рассеяния частиц пучка в газе, которая при $\alpha \sim 2$ (что является достаточно хорошей аппроксимацией к рассчетным огибающим ПЗЧ) имеет оценочный вид

$$\nu_{sc} \simeq \frac{\lambda_m}{L_N^*} G, \quad (31)$$

где $\lambda_m = 4\pi\sigma_0 R_0^2/c$ — скиновая длина в омической плазме проводимости σ_0 ,

$$L_N^* = \frac{(L_N)_0 I_b}{U_0 c} \quad (32)$$

— длина Нордсика при отсутствии токовой компенсации ($f_m = 0$),

$$G = 3 \left| \ln \left\{ \frac{3R_0}{L_N^*} \left(\frac{I_A}{I_b} \right)^{1/2} \right\} \right|. \quad (33)$$

Заметим, что в отличие от [11, 12] в рассматриваемой ситуации пучок близок к токовой нейтрализации ($f_m \rightarrow 1$) и вклад в скорость эрозии омических потерь мал по сравнению с соответствующим вкладом из-за рассеяния ($\nu_{0h} \ll \nu_{sc}$).

4. В качестве иллюстрации на рис. 2 для релятивистского электронного пучка (с параметрами $\gamma = 100$, $I_b = 10$ кА, $R_0 = 0.5$ см), распространяющегося в высокопроводящем атмосферном газе при $\bar{\rho} = 0.1$, 0.5 и 1 ($\bar{\rho} = \rho/\rho_0$ — плотность газовой среды, отнесенная к плотности воздуха при нормальных условиях), представлена зависимость темпа эрозии ν от проводимости газа σ_0 . Нетрудно видеть, что в отличие от [11, 12] (где зависимость от σ_0 отсутствует) в рассматриваемом случае имеет место линейное нарастание темпа эрозии с ростом проводимости среды. При этом увеличение σ_0 от 10^{10} до 10^{13} с⁻¹ приводит к возрастанию скорости эрозии почти на три порядка.

Полученный результат может быть легко объяснен, поскольку с ростом проводимости σ_0 нарастает степень токовой нейтрализации ($f_m \rightarrow \rightarrow 1$), что приводит к сильному радиальному расширению пучка и, следовательно, к большей скорости эрозии.

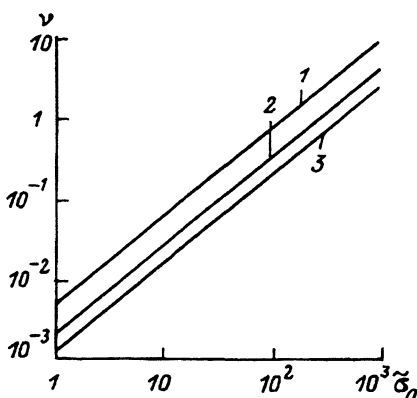


Рис. 2. Зависимость скорости эрозии v от проводимости плазменного канала $\sigma_0 = \sigma_0/\sigma_1$, $\sigma_1 = 10^{10} \text{ с}^{-1}$.
 p : 1 — 1, 2 — 0.5, 3 — 0.1.

Таким образом, из (30)–(33) следует, что при транспортировке пучка в высокопроводящей рассеивающей газоплазменной среде эрозия фронта пучка обусловлена в основном рассеянием и является значительной из-за высокой степени токовой компенсации.

Список литературы

- [1] Lee E.P. // Phys. Fluids. 1978. Vol. 21. N 8. P. 1327–1343.
- [2] Надеждин Е.Р., Сорокин Г.А. // Физика плазмы. 1983. Т. 9. № 5. С. 988–991.
- [3] Колесников Е.К., Мануйлов А.С. // ЖТФ. 1990. Т. 60. Вып. 3. С 40–44.
- [4] Колесников Е.К., Мануйлов А.С. // Письма в ЖТФ. 1991. Т. 17. Вып. 3. С. 46–50.
- [5] Lee E.P. // Phys. Fluids. 1976. Vol. 19. N 1. P. 60–69.
- [6] Lee E.P., Cooper R.K. // Part. Accelerators. 1976. Vol. 7. P. 83–95.
- [7] Колесников Е.К., Мануйлов А.С. // РиЭ. 1990. Т. 35. № 1. С. 218–220.
- [8] Власов М.А., Никонов С.В. // РиЭ. 1983. Т. 28. № 5. С. 965–970.
- [9] Мхеидзе Г.П., Сафин А.А., Сорокин Г.А. // ЖТФ. 1985. Т. 55. Вып. 7. С. 1465–1467.
- [10] Глазычев Л.В., Сорокин Г.А. // Физика плазмы. 1990. Т. 16. Вып. 3. С. 370–375.
- [11] Sharp W.M., Lampe M. // Phys. Fluids. 1980. Vol. 23. N 12. P. 2383–2393.
- [12] Lee E.P. // Livermore Lab. Report. UCID-18768. 1980. P. 19.
- [13] Barletta W.A., Lee E.P., Yu S.S. // Nucl. Fusion. 1981. Vol. 21. N 8. P. 961–972.
- [14] Глазычев Л.В., Сорокин Г.А. // ТВТ. 1987. Т. 25. № 3. С. 604–607.

С.-Петербургский университет

Поступило в Редакцию
10 октября 1991 г.